

# τ轻子质量的精密测量\*

BES 合作组

|     |                  |                  |                  |                  |                  |     |                  |
|-----|------------------|------------------|------------------|------------------|------------------|-----|------------------|
| 丁慧良 | 于传松              | 马东红              | 马恩成              | 马基茂              | 马爱民              | 方 建 | 平 普              |
| 王运永 | 王佩良              | 王临州              | 王泰杰              | 王 曼              | 王少敏              | 王灵淑 | 毛 泽 章            |
| 毛慧顺 | 兰慧彬              | 倪惠苓              | 叶铭汉              | 叶诗章              | 叶树伟 <sup>1</sup> | 白景芝 | 史焕章              |
| 朱永生 | 朱启明              | 吕 锋              | 庄保安              | 过雅南              | 李卫国              | 李芳  | 李如柏              |
| 李 金 | 李佩琴              | 李 莉              | 李小南              | 李玉山              | 李卫东              | 群   | 刘怀民              |
| 刘荣光 | 刘 琦              | 刘 延              | 刘经华              | 刘振安              | 孙汉生              | 舫   | 吕军光              |
| 许榕生 | 许明康 <sup>3</sup> | 许亚娣 <sup>3</sup> | 严武光              | 张长春              | 张少强              | 张达华 | 张 敏              |
| 张良生 | 张会领              | 张炳云              | 张家文              | 张 建              | 张月元              | 杨长友 | 青根               |
| 杨 蕊 | 沈定力              | 沈肖雁              | 沈 红              | 何 烨              | 何 瑧 <sup>2</sup> | 何可人 | 义根               |
| 陈少敏 | 陈申见              | 陈 宇              | 陈宏芳 <sup>1</sup> | 陈光培              | 陈元柏              | 杜志珍 | 吴 周              |
| 宋晓非 | 孟祥承              | 邵毓莺              | 郁忠强              | 周月华              | 周化十              | 周光谱 | 莉 莲              |
| 周小帆 | 郑志鹏              | 郑林生              | 郑建平              | 林树子              | 勇 勇              | 周鹏飞 | 晓玲               |
| 金 艳 | 苑长征              | 赵京伟              | 赵平德              | 萌 哲              | 赵维仁              | 赵棣新 | 胡贵云              |
| 胡 涛 | 胡洪波              | 胡晓庆              | 荣 刚              | 姜春华              | 姜志进 <sup>2</sup> | 祝玉灿 | 祝红国              |
| 康书辉 | 席德明              | 谈益平              | 顾以藩              | 顾树棟              | 顾维新              | 顾建辉 | 高文秀              |
| 高树琦 | 高美丽              | 高翠山              | 徐芷青              | 徐德之              | 夏小米              | 唐素秋 | 虞炎华 <sup>3</sup> |
| 黄因智 | 黄德强              | 崔化传              | 崔象宗              | 盛华义              | 韩 珊              | 韩世温 | 谢小希              |
| 谢佩佩 | 程宝森              | 赖元芬              | 童国良              | 曾吉阳              | 网友昆              | 喻纯杞 | 漆纳丁              |
| 颜 洁 | 薛生田              | 熊伟军              | 魏诚林              | 聂 品 <sup>1</sup> |                  |     |                  |

(中国科学院高能物理研究所 北京 100039)

1(中国科技大学近代物理系 合肥 230026)

2(山东大学物理系 济南 250100)

3(杭州大学物理系 杭州 310028)

\* 国家自然科学基金资助。

T. J. Shank S. Whittaker,

(*Boston University, Boston, Massachusetts 02215*)

M. Hatanaka D. Hitlin L. Jones M. Kelsey J. Oyang

X. R. Shi J. Panetta F. Porter E. Prabhakar

(*California Institute of Technology, Pasadena, California 91125*)

A. Lankford M. Mandelkern J. Shultz B. Schmid M. Schernau

A. Smith D. Stoker G. Zioulas

(*University of California, Irvine, California 92717*)

J. Chen Q. P. Jia R. Malchow R. Wilson

W. Toki

(*Colorado State University, Fort Collins, Colorado 80523*)

O. Bardon R. Cowan M. Fero J. Quigley E. Torrence

R. Yamamoto

(*Massachusetts Institute of Technology, Cambridge, Massachusetts 02139*)

W. Dunwoodie H. Marsiske E. Soderstrom

J. Synodinos

(*Stanford Linear Accelerator Center Stanford University, Stanford, California 94309*)

W. Wisniewski

(*Superconducting Supercollider Laboratory, Dallas, Texas 75237-3946*)

J. Standiford I. Blum P. Gratton B. Kim X. C. Lou

H. Shipman J. Campbell J. M. Izen B. Lowery

(*University of Texas at Dallas, Richardson, Texas 75083-0688*)

T. Burnett

(*University of Washington, Seattle, Washington 98195*)

A. Breakstone F. Harris S. Olsen D. Paluselli

A. Breakstone F. Harris S. Olsen D. Paluselli L. J. Pan

(*University of Hawaii, Honolulu, Hawaii 96822*)

1994-09-07 收稿

## 摘要

由北京正负电子对撞机(BEPC)上取得的 $\tau$ 轻子质量附近12个能量点的数据,筛选出 $\tau$ 轻子到其6个主要衰变道的事例数,用最大似然法双参数拟合得到 $\tau$ 轻子的质量为 $1776.88^{+0.22+0.20}_{-0.23-0.17}$  MeV。与1992年的 $\tau$ 轻子到 $e\mu$ 一个衰变道的测量结果相比,增加了统计量,减小了统计误差,从而提高了精确度。

关键词  $\tau$  轻子质量,事例筛选,径迹判定。

## 1 引言

北京谱仪(BES)合作组于1991年底至1992年初在北京正负电子对撞机(BEPC)上根据近阈扫描的实验方案,在 $\tau$ 质量附近的12个能量点上积累了 $5000\text{nb}^{-1}$ 的积分亮度共约180万的对撞事例。由 $\tau$ 轻子的 $e\mu$ 衰变模式的事例,运用最大似然法拟合得到 $\tau$ 轻子的质量 $m_\tau$ 为<sup>[1,2]</sup>:

$$M_\tau = 1776.9^{+0.4}_{-0.5} \pm 0.2 \text{ MeV}$$

$\tau$ 轻子主要衰变道最新实验结果给出的分支比<sup>[3]</sup>为:

| 衰变道   | 分支比                 |
|---|---------------------|
| $\tau \rightarrow e\nu_e \bar{\nu}_e$       | (17.88 $\pm$ 0.15)% |
| $\tau \rightarrow \mu\nu_\mu \bar{\nu}_\mu$ | (17.90 $\pm$ 0.16)% |
| $\tau \rightarrow \pi\nu_\tau$              | (11.60 $\pm$ 0.40)% |

北京谱仪对电子、 $\mu$ 子和 $\pi$ 介子有较好的分辨能力,因此通过收集 $\tau$ 轻子的 $e\mu$ 、 $e\pi$ 、 $e\epsilon$ 、 $\mu\mu$ 、 $\mu\pi$ 和 $\pi\pi$ 6种衰变模式的事例进行分析拟合得到 $\tau$ 轻子质量都是可行的。这样做既扩大了统计量,减小了测量的统计误差,还可以避免收集数据的随机性和统计涨落带来的错误。

本文报道的工作,按照事例判别、粒子鉴别、最大似然法拟合和误差处理等几个步骤,以统一的逻辑分析了 $\tau$ 轻子的6个主要衰变模式的事例。由12个能量点取得的 $\tau$ 轻子事例,筛选出衰变到以上6道的事例数 $N_{e\mu}, N_{e\pi}, N_{e\epsilon}, N_{\mu\mu}, N_{\mu\pi}, N_{\pi\pi}$ ,最后确定了 $\tau$ 轻子的质量。

2  $\tau$ 轻子6个主要衰变道的特征

(1) 事例判别的目的是将 $\tau^+\tau^-$ 事例与本底区别开。以上6个模式均为终态仅有两

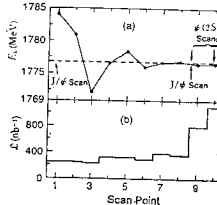


图1 各实验点的束流能量( $E_t$ )和积分亮度( $L$ )

一个荷电粒子并伴有携带动量逃逸而去的中微子。这种事例称为：“有能量或动量丢失的两叉事例”。北京谱仪可以“看”到这些事例的能量、动量的不守恒，这些事例与过程

$$\begin{aligned} e^+e^- &\rightarrow q\bar{q}, \quad e^+e^- \rightarrow e^+e^-(\gamma), \\ e^+e^- &\rightarrow \mu^+\mu^-(\gamma), \quad e^+e^- \rightarrow e^+e^-e^+e^-, \\ e^+e^- &\rightarrow \mu^+\mu^-\mu^+\mu^-, \quad e^+e^- \rightarrow e^+e^-\bar{q}\bar{q}, \end{aligned}$$

(后三个过程即“双光子”过程)产生的本底在非共线角(*ACOL*)，非共面角(*ACOP*)和横动量与丢失动量之比(*PTES*)的分布图中表现出强烈的不同，为事例和本底的区别提供了条件。

(2) 这6个衰变模式终态各伴有不同数目的中微子产生，例如  $e\mu$ 、 $e\tau$ 、 $\mu\mu$  模式各伴有四个中微子， $e\pi$ 、 $\mu\pi$  模式各伴有三个中微子，而  $\pi\pi$  模式只伴有两个中微子产生。因此在 *ACOL*、*ACOP* 和 *PTES* 的分析中对不同的模式采用不同的截断条件。其中

$$PTES = \frac{|(p_1 + p_2)_{zr}|}{W - |p_1| - |p_2|},$$

$p_1, p_2$  分别为衰变产生两个粒子的动量， $W$  为质心系能量。

(3) 上各衰变模式中没有任何光子或  $\pi^0$  等中性粒子产生，因此在判选中做了拒绝中性径迹的定量要求。

(4) 为排除宇宙线本底，使用了“两个从中心点向外飞行的粒子到达飞行时间探测器所用的时间  $T_1$  和  $T_2$  应基本相同”的限定，并要求这两个时间之差  $\Delta T$  小于 3ns。

(5) 文献[1]将电子动量的下限定为  $350\text{MeV}/c$ ，是较保守的措施，基于更多的 Monte Carlo 研究，现将电子的动量下限降为  $200\text{MeV}/c$ 。

(6)  $\tau \rightarrow \pi\nu_\tau$  过程产生的  $\pi$  介子具有单色性，在阈值处产生的  $\pi$  介子的动量呈  $\delta$  分布。离开阈值处， $\tau$  的动量造成了  $\pi$  的加速或减速，其动量范围因此而有所展宽。根据能量、动量守恒的原理，由  $\tau$  轻子、 $\pi$  介子和  $\tau$  中微子  $\nu_\tau$  的能量  $E_\tau$ 、 $E_\pi$ 、 $E_{\nu_\tau}$  和动量  $p_\tau$ 、 $p_\pi$ 、 $p_{\nu_\tau}$  推出  $\pi$  介子的动量上限  $p_{\pi\text{up}}$  和下限  $p_{\pi\text{down}}$  分别为：

$$p_{\pi\text{up}} = \frac{(E_\pi + p_\tau)^2 - M_\pi^2}{2(E_\pi + p_\tau)};$$

$$p_{\pi\text{down}} = \frac{(E_\pi - p_\tau)^2 - M_\pi^2}{2(E_\pi - p_\tau)}.$$

由  $p_{\pi\text{up}}$ 、 $p_{\pi\text{down}}$  再考虑到 BES 的动量分辨率  $\sigma_p$ ，得到判别  $\pi$  介子的动量截断最大值  $p_{\max}$  和最小值  $p_{\min}$  分别为：

$$p_{\max} = p_{\pi\text{up}} + 3\sigma_p;$$

$$p_{\min} = p_{\pi\text{down}} - 3\sigma_p,$$

其中

$$\sigma_p/p = 2.1\% \sqrt{1 + p^2}.$$

### 3 $\tau$ 轻子事例的筛选条件

- (1) 两条电荷相反的径迹:  $N_{ch} = 2$ ,  $\sum Q_t = 0$ , 好的径迹重建质量  $M_{hit} = 2$ .
- (2) 两条径迹的顶点  $(x_0, y_0, z_0)$  在对撞区域:  $|x_0| \leq 1.5\text{cm}$ ,  $|y_0| \leq 1.5\text{cm}$ ,  $|z_0| \leq 15\text{cm}$ .
- (3) 不含有任何孤立光子, 孤立光子定义为能量大于  $60\text{MeV}$  并与带电径迹夹角大于  $12^\circ$  的中性粒子.
- (4) 两条径迹的非共线角满足:  $10^\circ < ACOL < 170^\circ$ .
- (5) 不同衰变模式的  $PTES$  和  $ACOP$  的截断值满足:

| 衰变模式                          | $ACOP$       | $PTES$   |
|-------------------------------|--------------|----------|
| $\tau\tau \rightarrow e\mu$   | $> 10^\circ$ | $> 0.1$  |
| $\tau\tau \rightarrow e\pi$   | $> 20^\circ$ | $> 0.25$ |
| $\tau\tau \rightarrow \mu\pi$ | $> 20^\circ$ | $> 0.25$ |
| $\tau\tau \rightarrow \mu\mu$ | $> 20^\circ$ | $> 0.15$ |
| $\tau\tau \rightarrow \pi\pi$ | $> 20^\circ$ | $> 0.30$ |
| $\tau\tau \rightarrow ee$     | $> 50^\circ$ | $> 0.10$ |

- (6) 在飞行时间计数器内有好的重建径迹.

### 4 电子径迹的判定条件

- (1) 动量  $p_e$  满足  $0.2\text{GeV}/c < p_e < p_{max}$ .
- (2) 粒子速度  $\beta$  满足  $0.8 \leq \beta \leq 1.5$ , 这里电子速度应为光速  $\beta = 1$ , 由于时间分辨率等因素造成了  $\beta$  的展宽.
- (3) 在簇射计数器中沉积的能量  $E$  与动量  $P$  之比满足  $E/p \geq 0.4$ .
- (4) 若动量值在  $0.2\text{GeV}/c$  与  $0.35\text{GeV}/c$  之间时, 要求  $\beta \geq 1.0$ , 而且根据主漂移室 (MDC) 中的  $dE/dx$  信息也判为电子.
- (5) 若动量在  $0.35\text{GeV}/c$  与  $0.70\text{GeV}/c$  之间时, 要求在 MDC 中的  $dE/dx$  信息判为电子, 在簇射计数器中沉积能量  $E \geq 0.4\text{GeV}$  或击中数大于 9.
- (6) 若动量在  $0.7\text{GeV}/c$  与  $p_{max}$  之间, 要求  $\beta \geq 0.8$ , 在 MDC 中的  $dE/dx$  信息判为电子, 在簇射计数器中能量沉积  $E \geq 0.5\text{GeV}$ , 击中数大于 13, 或  $E \geq 0.6\text{GeV}$ , 击中数大于 9.

### 5 $\mu$ 子径迹的判定条件

- (1) 粒子在某层  $\mu$  探测器的击中点满足  $|A_x| \leq 4$ ;  $|A_z| \leq 6$ ,  $A_x$  和  $A_z$  分别为此点在  $x-y$  平面和  $z$  方向由 MDC 中径迹外推的截距与对应的分辨率  $\sigma_x, \sigma_z$  的比值.

(2) 至少有两层 $\mu$ 计数器被击中,若击中的为第二、第三层,则要求为双管击中。

(3) 或至少有一层 $\mu$ 计数器被击中且为双管击中。

(4) 动量 $p_\mu$ 在 $p_{\pi^+}$ 和 $p_{\pi^-}$ 之间时,应满足在簇射计数器中沉积能量 $E \leq 0.45\text{GeV}$ 。

部分 $\pi$ 介子穿过量能器仍能击中 $\mu$ 探测器,称之为 Punchthrough  $\pi$ , 对这些 $\pi$ 的研究发现,大约 10% 为 Punchthrough  $\pi$ , 其中约有 1% 的 $\pi$ 还能击中二层或二层以上的 $\mu$ 计数器。确定的上述判断条件能够区别 Punchthrough  $\pi$  和 $\tau$ 轻子衰变的 $\mu$ 。

## 6 $\pi$ 介子径迹的判定条件

(1) 动量在 $p_{\min}$ 与 $p_{\max}$ 之间。

(2) 极角 $\theta$ 满足 $|\cos\theta| \leq 0.75$ 。

(3) 速度 $\beta$ 满足 $0.85 \leq \beta \leq 1.5$ 。

(4) 簇射计数器中的击中数小于 11。

(5) 由主源移室的 $dE/dx$ 信息判为 $\pi$ 。

(6) 在簇射计数器中的能量沉积 $E \leq 0.4\text{GeV}$ 。

(7) 不满足 $\mu$ 子径迹的判定条件。

## 7 测量结果

采用以上判选条件筛选了 $\tau$ 质量测量的 12 个能量点的数据,得到了 $\tau$ 轻子 6 种主要

表 1 各测量点的能量值、积分亮度值和各衰变道的事例数

| 测量点 | 能量<br>(MeV) | 积分亮度<br>(nb <sup>-1</sup> ) | $N_{e\mu}$ | $N_{e\pi}$ | $N_{\mu\mu}$ | $N_{\mu\pi}$ | $N_{\pi\pi}$ | $N_{ee}$ |
|-----|-------------|-----------------------------|------------|------------|--------------|--------------|--------------|----------|
| 1   | 1784.19     | 245.8                       | 0          | 2          | 3            | 0            | 1            | 1        |
| 2   | 1780.99     | 248.9                       | 1          | 1          | 0            | 1            | 1            | 0        |
| 3   | 1772.09     | 232.8                       | 0          | 0          | 0            | 0            | 0            | 0        |
| 4   | 1776.57     | 323.0                       | 0          | 0          | 0            | 0            | 0            | 0        |
| 5   | 1778.49     | 322.5                       | 0          | 2          | 2            | 0            | 1            | 0        |
| 6   | 1775.95     | 296.9                       | 0          | 0          | 0            | 0            | 0            | 0        |
| 7   | 1776.75     | 384.0                       | 0          | 0          | 0            | 0            | 0            | 0        |
| 8   | 1776.98     | 360.8                       | 0          | 1          | 1            | 1            | 0            | 0        |
| 9   | 1776.45     | 794.1                       | 0          | 0          | 0            | 0            | 0            | 0        |
| 10  | 1776.62     | 1109.1                      | 1          | 1          | 1            | 0            | 1            | 1        |
| 11  | 1799.51     | 499.7                       | 2          | 6          | 4            | 2            | 1            | 3        |
| 12  | 1789.55     | 250.0                       | 2          | 1          | 1            | 0            | 2            | 1        |

注:  $N_{e\mu}$ ,  $N_{e\pi}$ ,  $N_{\mu\mu}$ ,  $N_{\mu\pi}$ ,  $N_{\pi\pi}$ ,  $N_{ee}$  分别为  $\tau\tau \rightarrow e\mu$ ,  $\tau\tau \rightarrow e\pi$ ,  $\tau\tau \rightarrow \mu\mu$ ,  $\tau\tau \rightarrow \mu\pi$ ,  $\tau\tau \rightarrow \pi\pi$ ,  $\tau\tau \rightarrow ee$  各衰变道筛选到的事例数。

衰变模式共 49 个事例,表 1 中列出这 6 种衰变模式的事例数和各能量点的束流能量与积分亮度值。

表2 给出各衰变模式筛选到的事例总数及本底事例数, 双参数拟合得到的探测效率及 $\tau$ 轻子质量。

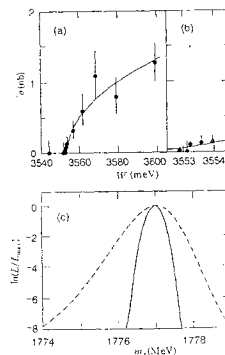


图 2

(a)  $\tau$  附近的 $\tau$ 产生截面; (b) 图(a)曲线的局部放大; (c)  $\tau$ 质量最大似然法双参数拟合曲线。  
虚线: 只用 $e\mu$ 衰变道的事例拟合, 实线: 用6个衰变道的事例拟合。

表2 由6种衰变模式筛选的 $\tau$ 轻子事例数及双参数拟合结果

| 衰变道                   | $ee$                      | $e\mu$               | $e\pi$               | $\mu\mu$            | $\mu\pi$             | $\pi\pi$               |
|-----------------------|---------------------------|----------------------|----------------------|---------------------|----------------------|------------------------|
| 筛选事例数                 | 6                         | 14                   | 12                   | 4                   | 7                    | 6                      |
| 本底事例数                 | 0.02                      | 0.10                 | 0.16                 | 0.16                | 0.20                 | 0.18                   |
| 双参数拟合效率 (%)           | $15.6^{+7.2}_{-5.5}$      | $14.2^{+4.7}_{-3.9}$ | $18.9^{+6.9}_{-5.5}$ | $7.5^{+5.2}_{-3.5}$ | $10.9^{+5.4}_{-4.0}$ | $30.8^{+16.5}_{-12.6}$ |
| 双参数拟合 $\tau$ 质量 (MeV) | $1776.88^{+0.22}_{-0.23}$ |                      |                      |                     |                      |                        |

由表1、表2的值进行双参数的最大似然法拟合, 得到 $\tau$ 轻子质量及其统计误差为

$$m_\tau = 1776.88^{+0.22}_{-0.23} \text{ MeV}$$

系统误差的分析方法与文献[1]相同,本文在此仅列出结果。表3给出系统误差来源及数值。

表3 系统误差来源和相应的数值

| 误差产生源                          | 误差值(MeV)       |
|--------------------------------|----------------|
| 1. 探测器接收效率及亮度计算的不确定性           | +0.10<br>-0.11 |
| 2. BEPC 能量的不确定性                | ±0.09          |
| 3. 束流能散度的不确定性(0.8MeV)引起的误差     | ±0.02          |
| 4. 各衰变道本底数之和(约为1)引起的误差         | ±0.10          |
| 5. Monte Carlo 模拟测量方案本身带来的系统偏差 | 0.10—0.22      |
| 误差总和                           | ±0.20<br>-0.17 |

## 8 $\tau$ 轻子质量精密测量结果及讨论

由  $\tau$  轻子的6个主要衰变模式的测量得出:

$$m_\tau = 1776.88^{+0.22+0.20}_{-0.23-0.17} \text{ MeV}$$

采用6个衰变模式的事例进行拟合,使参与分析的事例总数增加到文献[1]的3.5倍,统计误差降低到系统误差同一水平,总误差仅为  $+0.30_{-0.31}$  MeV。这个结果比粒子物理手册1992年版本的数据  $(^{+2.7}_{-3.6} \text{ MeV})$  改进了一个数量级。

用本文得到的  $\tau$  轻子质量值及最新的  $\tau$  轻子衰变分支比  $B_\tau = (17.89 \pm 0.11)\%$ , 和  $\tau$  轻子寿命实验值<sup>[4]</sup>  $\tau_\tau = (293 \pm 9 \pm 12) \times 10^{-15} \text{ s}$ , 得出弱耦合常数比为:

$$\left[ \frac{G_\tau}{G_\mu} \right]^2 = 0.991 \pm 0.012;$$

$$\left[ \frac{G_\tau}{G_\mu} \right] = 0.995 \pm 0.006.$$

$\mu-\tau$  轻子普适性在一个标准偏差内是成立的。

北京谱仪合作组感谢对撞机岗位上和支持实验的各研究室、工厂车间的同志们,特别是计算机中心的全体工作人员。理论室的黄涛、吴济民等教授参与了许多物理理论问题的讨论计算和参数的确定,在此向他们表示诚挚的谢意。

## 参 考 文 献

- [1] BES 合作组,高能物理与核物理,16(1992)865.
- [2] Measurement of the Mass of  $\tau$  lepton, BES collab., *Phys. Rev. Lett.*, 69 (1992) 3021.
- [3] Review of particle properties, *PDG. Phys. Rev.*, D45(1993).
- [4] Experimental Results on  $\tau$  physics, J.J. Gomez Cadenas, CERN-PPE/94-B.1994.

## Precise Measurement of $\tau$ Mass

BES Collaboration

Received 7 September 1994

### Abstract

Pairs of  $\tau$  lepton produced near the threshold have been studied in  $e\mu$ ,  $ee, e\pi$ ,  $\mu\mu, \mu\pi, \pi\pi$  final states with the data taken by BES detector at BEPC collider in 1992. The obtained  $\tau$  mass is  $1776.88^{+0.22+0.20}_{-0.23-0.17}$  MeV by fitting data with likelihood method.

**Key words**  $\tau$  mass measurement, event selection, tracking identify.